

# 임베이드 컴퓨터시스템에 기초한 고효율 연산시스템 구성

이택근\*, 박춘명\*\*

\* 충주대학교 대학원 컴퓨터공학과

\*\* 충주대학교 전기·전자 및 정보공학부 컴퓨터공학전공

## A Construction of High Efficiency Arithmetic System based on Embedded Computer System

Taek-Keun Lee\* and Chun-Myoung Park\*\*

\* Dept. of Computer Engineering, Graduate School, Chungju Nat'l University

\*\* Division of Electrical Electronic & Information Engineering, Computer Engineering Major, Chungju Nat'l University

E-mail : cmpark@gukwon.chungju.ac.kr

### 요 약

일반적으로 멀티미디어 하드웨어는 지금까지의 각종 데이터 처리보다는 훨씬 방대한 데이터 양, 최적의 데이터 압축 및 복원, 초고속 전송, 암호화 및 복호화 등의 복합적이고 고기능의 기술이 요구되고 있다. 따라서 본 논문에서는 이러한 점들을 수행 할 수 있는 방법으로 최근에 그 활용도가 높아지고 있는 임베이드 컴퓨터시스템에 기반을 둔 고효율 연산시스템 구성의 한 가지 방법을 제안하였다.

### 1. 서론

최근에 멀티미디어 H/W와 S/W에 기반을 둔 여러 분야가 매우 급속도로 발전되고 있으며 21C에는 더욱 더 활용 및 적용이 요구될 것이다. 특히 멀티미디어 H/W는 지금까지의 각종 데이터 처리보다는 훨씬 방대한 데이터 양, 최적의 데이터 압축 및 복원, 초고속 전송, 암호화 및 복호화 등의 복합적이고 고기능의 기술이 요구되고 있다.[1-5]

따라서 본 논문에서는 이를 해결할 수 있는 방법으로 최근에 그 활용도가 높아지고 있는 임베이드 컴퓨터시스템(Embedded Computer System)[6-8]에 기초하여 각종 멀티미디어 H/W 시스템에 기본적으로 사용되는 연산을 효율적으로 수행할 수 있는 고효율 연산시스템의 한 가지 방법을 제안하였다.

본 논문의 서술과정은 다음과 같다. 2장에서는 본 논문에서 사용되는 수학적 성질을 논의하고, 3장에서는 사칙연산에 대한 각각의 연산 알고리즘의 도출에 대해 논

의하였다. 그리고 4장에서는 3장의 각각의 연산을 선택하기 위한 선택기의 구성에 대해 논의하였으며, 5장에서는 3장과 4장의 내용을 토대로 최종 임베이드 컴퓨터시스템에 기반을 둔 고효율 연산시스템 구성에 대해 기술하였다. 그리고 마지막 6장의 결론에서는 본 논문에서 제안한 고효율 연산시스템의 구성과 특징을 요약하였으며 앞으로의 전망을 기술하였다.

### 2. 수학적 배경

본 장에서는 본 논문을 전개하는데 필요한 유한체상의 수학적 성질을 논의한다.

[성질1] 다음 식(2-1)을 인수분해하여 m차 기약다항식을 구한 후 이를 0으로 하는 한근을  $\xi$ 라 할 때 식(2-2)와 같은 원시기약다항식을 얻을 수 있다.

$$X^m - X = X(X-1)(X^{\mu-2} + X^{\mu-3} + \dots + X + 1) = 0 \quad (2-1)$$

where,  $\mu = P^m$ , P is prime number, m is integer.

$$F(\xi) = \sum_{i=0}^{m-1} \delta_i \xi^i \\ = \delta_0 + \delta_1 \xi^1 + \dots + \delta_{m-2} \xi^{m-2} + \delta_{m-1} \xi^{m-1} \quad (2-2)$$

한편, 식(2-2)를 벡터공간(Vector Space)으로 표시하면 다음 식(2-3)과 같으며 특히 P=2인 경우를 비트 벡터공간(Bit Vector Space)이라 한다.

$$F(\xi) = [\delta_0 \delta_1 \dots \delta_{m-2} \delta_{m-1}] \quad (2-3)$$

여기서  $\delta_i (i=0,1, \dots, m-1)$ 는  $\xi^i$ 의 계수이다.

[성질2] GF(P<sup>m</sup>)상에서 원소생성은 식(2-2)를 0으로 하는 한 근  $\xi$ 의 멱승으로 구해지며, 원소의 개수는 P<sup>m</sup>이다.

이를 식으로 표시하면 다음 식(2-4)와 같다.

$$GF(P^m) = \{0, \xi^1, \xi^2, \dots, \xi^{\mu-2} = \xi^{-1}, \xi^{\mu-1} = 1\} \quad (2-4)$$

where,  $\mu = P^m$

[성질3] 역원의 존재

- (1)  $\theta + (-\theta) = 0$ 인 가법에 대한 역원  $-\theta$ 가 존재한다. ( $\forall \theta \in GF(P^m)$ )
- (2)  $\theta(\theta^{-1}) = 1$ 인 승법에 대한 역원  $\theta^{-1}$ 이 존재한다. ( $\forall \theta \in GF(P^m)$ )

[성질4]  $(\theta + \Psi)^\mu = \theta^\mu + \Psi^\mu = \theta + \Psi$  ( $\forall \theta, \Psi \in GF(P^m)$ )

[성질5]  $\theta^i \theta^j = \theta^{i+j \pmod{\mu-1}}$  ( $\mu = P^m$ )

여기서  $r = i+j$ 이라 하면  $i+j \pmod{\mu-1}$ 은  $r \pmod{\mu-1}$ 이며  $0 \leq r \leq P^m - 1$ 이다.

이상의 수학적 성질과 그 외의 본 논문을 전개하는데 필요한 수학적 성질은 참고문헌[9-11]을 참고하였다.

### 3. 연산 알고리즘

본 논문에서는 유한체 GF(2<sup>m</sup>)상에서 m=1인 경우를 사용하며 이는 현존의 디지털시스템의 근간이 되며 수학적 개념으로론 부울대수(Boolean Algebra)가 도입된다.

#### 3-1. 가산 연산 알고리즘

피가산원소를  $a_i$ , 가산원소를  $b_j$ , 가산후원소를  $a_a$ 라 하고 이들을 비트벡터공간으로 표현한 것을 각각  $a_a(av)$ ,  $a_b(bv)$ ,  $a_a(Av)$ 라 하면 두 원소  $a_i$ 와  $b_j$ 의 가산은 다음 식(3-1)과 같다.

$$a_i \oplus b_j = a_a(av) \oplus a_b(bv) = a_a(Av) \quad (3-1)$$

여기서  $i, j = 0, 1, \dots, 2^m - 2, 2^m - 1$ 이고,  $av, bv, Av \in GF(2)$  ( $V = 0, 1, \dots, m-2, m-1$ )이고,  $\oplus$ 는 mod2 합이다.

위 식(3-1)에서 살펴 본 바와 같이  $Av = av \oplus bv$ 이다. 따라서  $bv$ 를 가산연산시의 제어입력으로 사용하면  $bv$  값에 따라  $av$  값을 그대로 유지하거나 2의 보수를 취한 값이 되고, 이는 mod2 합의 수학적 성질과 같다. 이 내용을 식으로 표시하면 식(3-2)와 같다.

$$Av = av \text{ iff } bv = 0 \\ av \text{ iff } bv \neq 0 \quad (3-2)$$

여기서,  $av, bv, Av \in GF(2)$  ( $V = 0, 1, \dots, m-2, m-1$ )이다.

위 내용과 식(3-1) 및 (3-2)를 토대로 가산알고리즘을 도출하면 다음과 같다.

[STEP1] 피가산원소  $a_i$ 와 가산원소  $b_j$ 를 각각 비트벡터공간으로 표현한  $a_a(av)$ 와  $a_b(bv)$ 로 표시한다.

[STEP2] 가산원소  $a_b(bv)$ 를 제어입력으로 사용하여  $bv$ 의 값이 "0"이면 피가산원소  $a_a(av)$ 의 해당 비트값을 그대로 유지하고 "1"이면 2의 보수를 취한다.

[STEP3] STEP2를 행한 후의 결과가 최종 가산후의 원소  $a_a(Av)$ 가 된다.

#### 3-2. 감산 연산 알고리즘

Mod2의 수학적 성질에 의해 감산은 가산과 같다. 따라서 GF(2<sup>m</sup>)상에서 두 원소간의 감산 알고리즘은 가산 알고리즘과 같다.

#### 3-3. 승산 연산 알고리즘

피승산원소를  $a_i$ , 승산원소를  $b_j$ , 승산후원소를  $a_m$ 이라 하고 이들을 비트벡터공간으로 표현한 것을 각각  $a_a(av)$ ,  $a_b(bv)$ ,  $a_m(Mv)$ 라 하면 두 원소  $a_i$ 와  $b_j$ 의 승산은 다음 식(3-3)과 같다.

$$a_i \otimes b_j = a_a(av) \otimes a_b(bv) = a_m(Mv) \quad (3-3)$$

한편, 피승산원소, 승산원소, 승산후원소의 기약다항식을 각각  $F(\xi) = \sum_{i=0}^{m-1} a_i \xi^i$ ,  $G(\xi) = \sum_{j=0}^{m-1} b_j \xi^j$ 와  $H(\xi) = \sum_{k=0}^{m-1} M_k \xi^k$ 라 하면 식(3-3)은 다음 식(3-4)와 같이 표현할 수 있다.

$$F(\xi) \otimes G(\xi) = \left( \sum_{i=0}^{m-1} a_i \xi^i \right) \otimes \left( \sum_{j=0}^{m-1} b_j \xi^j \right) \\ = \sum_{i=0}^{m-1} \left( \sum_{j=0}^{m-1} b_j \right) a_i \xi^{i+j} \\ = \sum_{i+j=0}^{2m-2} a_i b_j \xi^{i+j} \quad (3-4)$$

여기서  $a_i, b_j \in GF(2)$ 이고  $i, j = 0, 1, \dots, m-2, m-1$ 이다.

한편, 여기서  $r = i+j$ 라 하면 식(3-4)는 식(3-5)와 같고

이는 H(ξ)와 같아야 한다.

$$F(\xi) \otimes G(\xi) = \sum_{r=0}^{2m-2} a_r \xi^r$$

$$= H(\xi) = \sum_{k=0}^{m-1} M_k \xi^k \quad (3-5)$$

따라서 ξ<sup>r</sup>의 r은 m ≤ r1 ≤ 2m-2 부분과 0 ≤ r2 ≤ m-1 부분으로 분할 할 수 있으며 ξ<sup>r1</sup>항을 수학적 성질로부터 ξ<sup>r2</sup>항으로 표현하여 ξ<sup>k</sup>항과 일치시킬 수가 있다.

또한, 이들 ξ<sup>r2</sup>항들이 승산기 모듈 중 제어입력생성 모듈의 입력이 되고 이 제어입력 C<sub>L</sub>에 의해 최종 승산후원소 e<sub>m</sub>(Mv)를 얻는다.

이제 위 식(3-3)과 식(3-4)를 토대로 승산 알고리즘을 도출하면 다음과 같다.

[STEP1] 피승산원소 e<sub>i</sub>와 승산원소 e<sub>j</sub>를 각각 비트벡터공간으로 표현한 e<sub>i</sub>(av)와 e<sub>j</sub>(bv)로 표시한다.

[STEP2] 식(3-4)와 같이 ξ<sup>r1</sup>항과 ξ<sup>r2</sup>항을 각각 구한다.

[STEP3] ξ<sup>r1</sup>항을 수학적 성질로부터 ξ<sup>r2</sup>항으로 표현하여 제어입력 C<sub>L</sub>을 구한다.

[STEP4] STEP3에서 구한 C<sub>L</sub>의 값이 "0"이면 해당 ξ<sup>r2</sup>항의 비트값을 그대로 유지하고 "1"이면 2의 보수를 취한다.

[STEP5] STEP4를 행한 후의 결과가 최종 승산후원소 e<sub>m</sub>(Mv)가 된다.

한편, 제어입력 C<sub>L</sub>(L=0,1,...,m-2,m-1)은 식(3-5)의 ξ<sup>r1</sup>항으로부터 구할 수 있다.

즉, ξ<sup>r1</sup>을 ξ<sup>r2</sup>항으로 표현해 이들을 mod2 합함으로써 쉽게 구할 수 있으며 이를 식으로 표현하면 다음 식(3-6)과 같고 제어입력 C<sub>L</sub>의 개수는 m개이다.

$$\sum_{r1=m}^{2m-2} R_{r1} \xi^{r1} = \sum_{r1=m}^{2m-2} R_{r1} \left( \sum_{l=0}^{m-1} \xi^l \right) \quad (3-6)$$

따라서 승산 연산은 ξ<sup>r</sup>생성 부분과 제어입력C<sub>L</sub>생성 부분을 합성하여 구할 수 있다.

즉, C<sub>L</sub>의 값이 "0"이면 식(3-5)의 M<sub>k</sub> 값은 R<sub>r2</sub> 값을 유지하고 "1"이면 R<sub>r2</sub> 값에 2의 보수를 취한 값이 된다.

이를 식으로 표현하면 다음 식(3-7)과 같다.

$$M_k = R_{r2} \text{ iff } C_L = 0$$

$$R_{r2}' \text{ iff } C_L = 1 \quad (3-7)$$

여기서 M<sub>k</sub>, C<sub>L</sub>, R<sub>r2</sub>, R<sub>r2</sub>' ∈ GF(2)이고 k, L, r2=0,1,...,m-2,m-1이다.

그런데 식(3-7)은 가산 연산을 표현한 식(3-2)와 수학적으로 내용이 동일하다.

따라서 이 부분은 가산 연산을 그대로 사용할 수 있다.

### 3-4. 제산 연산 알고리즘

피제산원소, 제산원소 및 제산후원소를 각각 e<sub>i</sub>(av), e<sub>j</sub>(bv), e<sub>k</sub>(Dv)라 하면 두 원소 e<sub>i</sub>와 e<sub>j</sub>의 제산은 다음 식(3-8)과 같다.

$$e_i \otimes e_j = e_i(av) \otimes e_j(bv) = e_i \otimes e_j^{-1} = e_i(av) \otimes e_k(Dv) \quad (3-8)$$

여기서 e<sub>j</sub><sup>-1</sup>은 e<sub>j</sub>의 역원이며 bv\*는 bv에 대한 역원비트벡터공간이다.

한편, 피제산원소, 제산원소 및 제산후원소의 원시기약다항식을 각각 F(ξ), G(ξ)와 H(ξ)라 하면 식(3-8)은 다음 식(3-9)와 같다.

$$F(\xi) \otimes G(\xi) = F(\xi) \otimes [G(\xi)]^{-1} = H(\xi) \quad (3-9)$$

여기서 [G(ξ)]<sup>-1</sup>은 G(ξ)에 대한 승법역원생성다항식(multiplicative inverse element generation polynomial)이다.

또한, 2장의 성질2로부터 [G(ξ)]<sup>-1</sup>은 식(3-10)과 같다.

$$[G(\xi)]^{-1} = \left( \sum_{j=0}^{m-1} b_j \xi^j \right)^{K-2} \text{ (where, } K=2^m) \quad (3-10)$$

한편, 식(3-10)에서 Q=2<sup>m</sup>-2라 하면 다음 식(3-11)과 같이 자승(Squaring) 형태로 분할 할 수 있다.

$$Q = 2^m - 2 = 2^1 + 2^2 + 2^3 + \dots + 2^{m-1} \quad (3-11)$$

위의 내용을 토대로 제산 알고리즘을 도출하면 다음과 같다.

[STEP1] 피제산원소 e<sub>i</sub>와 제산원소 e<sub>j</sub>를 각각 비트벡터공간으로 표현한 e<sub>i</sub>(av)와 e<sub>j</sub>(bv)로 표시한다.

[STEP2] 제산원소의 원시기약다항식 G(ξ)에 대한 승법역원생성다항식 [G(ξ)]<sup>-1</sup>과 역원비트벡터공간 bv\*로 표시된 e<sub>j</sub>(bv\*)를 구한다.

[STEP3] STEP2에서 구한 e<sub>j</sub>(bv\*)를 승산 알고리즘의 승산원소로 한다.

[STEP4] 이후 부터는 승산 알고리즘의 STEP2이후와 동일하다.

### 4. 고효율 연산시스템 구성

본 장에서는 앞에서 논의한 연산을 통합하고 선택하기 위해서 분배기 모듈의 구성에 대해 논의한다.

#### 4-1. 분배기 모듈 D<sub>1</sub>

피연산원소인  $a_i(av)$ 는 가산일때는 가산기 모듈의 입력으로 승산일때는  $\zeta^r$  생성 모듈의 입력으로 사용된다.

그러므로 이를 수행하기 위한 제어입력  $T_1$ 과 패스 트랜지스터  $G_{D1i}(i=0,1)$ 로 모듈 D<sub>1</sub>의 기본 셀을 구성할 수 있다. 이를 식으로 표현하면 다음 식(4-1)과 같고 이를 토대로 D<sub>1</sub> 모듈을 구성할 수 있으며 이에 대한 진리치표는 표4-1과 같다.

$$\begin{aligned}
 a_i &= y_{0i} \text{ if } T_1=0 \Rightarrow \text{가산기 모듈} \\
 y_{1i} &\text{ if } T_1=1 \Rightarrow \text{승산기 모듈}
 \end{aligned}
 \tag{4-1}$$

여기서  $i=0,1,\dots,m-2,m-1$ 이다.

표 4-1. 모듈 D<sub>1</sub>의 기본셀(D<sub>1</sub>-cell)에 대한 진리치표.

Table 4-1. Truth table for basic cell(D<sub>1</sub>-cell) of module D<sub>1</sub>.

$a_i$	$T_1$	$G_{D10}$	$Y_{0i}$	$G_{D11}$	$Y_{1i}$
$a_i$	0	ON	$a_i$	OFF	×
$a_i$	1	OFF	×	ON	$a_i$

where, × means nonpass

#### 4-2. 분배기 모듈 D<sub>2</sub>

연산원소인  $a_i(bv)$ 는 가산과 감산일때는 가산기 모듈의 입력으로, 승산일때는  $\zeta^r$  생성 모듈의 입력으로, 제산일때는 승법역원생성 모듈의 입력으로 사용된다.

그러므로 이를 수행하기 위한 제어입력  $T_1$ 과  $T_0$  및 패스 트랜지스터  $G_{D2i}(i=0,1,2,3)$ 로 모듈 D<sub>2</sub>의 기본 셀을 구성할 수 있다. 이를 식으로 표현하면 식(4-2)와 같으며 이에 대한 진리치표는 표4-2와 같다.

$$\begin{aligned}
 b_j &= Y_{0j} \text{ if } T_1T_0=00 \Rightarrow \text{가산기 모듈} \\
 Y_{1j} &\text{ if } T_1T_0=01 \Rightarrow \text{감산기 모듈(생략가능)} \\
 Y_{2j} &\text{ if } T_1T_0=10 \Rightarrow \zeta^r \text{ 생성 모듈} \\
 Y_{3j} &\text{ if } T_1T_0=11 \Rightarrow \text{승법역원생성 모듈}
 \end{aligned}
 \tag{4-2}$$

#### 4-3. 고속 연산기 구성

앞의 4-1절과 4-2절의 내용을 토대로 최종 임베이드 컴퓨터시스템에 기반을 둔 고효율 연산시스템을 구성하면 다음 그림4-1과 같다.

표 4-2. 모듈 D<sub>2</sub>의 기본 셀(D<sub>2</sub>-cell)에 대한 진리치표

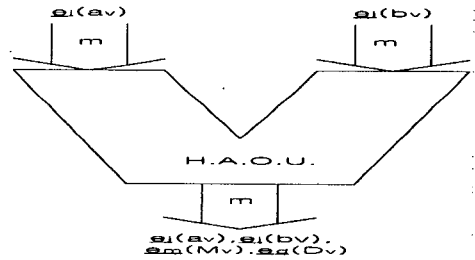
Table 4-2. Truth table for basic cell(D<sub>2</sub>-cell) of module D<sub>2</sub>.

$b_i$	$T_1$	$T_0$	$G_{D20}$	$G_{D21}$	$Y_{0i}$	$G_{D22}$	$G_{D23}$	$Y_{2i}$
$b_j$	0	0	ON	ON	$b_j$	ON	OFF	×
$b_j$	0	1	ON	OFF	×	ON	ON	$b_j$
$b_j$	1	0	OFF	ON	×	OFF	OFF	×
$b_j$	1	1	OFF	OFF	×	OFF	ON	×

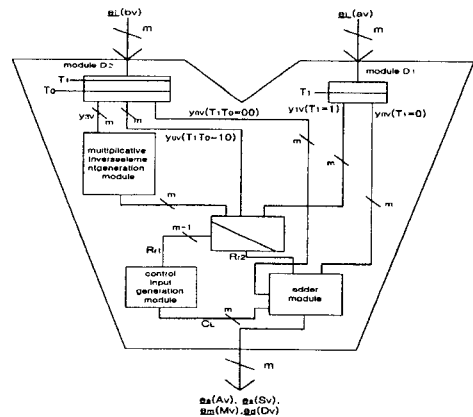
continued

$b_i$	$T_1$	$T_0$	$G_{D24}$	$G_{D25}$	$Y_{0i}$	$G_{D26}$	$G_{D27}$	$Y_{2i}$
$b_j$	0	0	OFF	ON	×	OFF	OFF	×
$b_j$	0	1	OFF	OFF	×	OFF	ON	×
$b_j$	1	0	ON	ON	×	ON	OFF	×
$b_j$	1	1	ON	OFF	×	ON	ON	×

where, × means nonpass.



a) symbol



b) internal structure

그림 4-1. 임베이드 컴퓨터시스템에 기반을 둔 고효율 연산시스템 블록다이어그램

Fig. 4-1. Block diagram of high efficiency arithmetic system based on embedded computer system

## 5. 결론

본 논문에서는 최근에 그 활용과 향 후 21C에 많이 적용되는 멀티미디어 H/W 시스템에 반드시 필요한 고효율 연산시스템을 임베이드 컴퓨터시스템에 기반을 두고 구성하는 한가지 방법을 제안하였으며 특징을 요약하면 다음과 같다.

본 논문에서 제안한 고효율 연산시스템은 다음과 같은 6개의 모듈로써 구성된다.

1. 가산기 모듈
2.  $\zeta^r$  생성 모듈
3. 제어입력  $C_L$  생성 모듈
4. 승법역원생성 모듈
5. 분배기 모듈  $D_1$
6. 분배기 모듈  $D_2$

또한, 승산기 모듈과 제산기 모듈은 각각 다음과 같은 모듈을 합성함으로써 구성된다.

$$\begin{aligned} \text{승산기 모듈} &= (\zeta^r \text{ 생성 모듈}) + (\text{제어입력 } C_L \text{ 생성} \\ &\quad \text{모듈}) + (\text{가산기 모듈}) \\ \text{제산기 모듈} &= (\text{승법역원생성 모듈}) \\ &\quad + (\text{승산기 모듈}) \end{aligned}$$

위에서 본바와 같이 가산기 모듈은 가산, 감산, 승산, 제산의 어떤 연산을 하더라도 항상 사용된다.

그리고 가산기 모듈내의 cell-A의 개수는  $m$ 개,  $\zeta^r$  생성 모듈내의 cell-M의 개수는  $m^2$ 개이고 분배기 모듈  $D_1$ 과  $D_2$ 내의  $D_1$ -cell과  $D_2$ -cell의 개수는 각각  $m$ 개이다.

또한, 제안한 고속 연산기는 모듈들의 합성으로 구성되므로  $m$ 의 확장에 따른 고속 연산기는 각 모듈을  $m$ 에 따라 확장만 하면 되며 최종 고속 연산기는 분배기 모듈로써 합성하여 용이하게 구성할 수 있다.

## [참고문헌]

- [1] I.F.Blake, *Algebraic Coding Theory:History and development*, Down, Hutchinson & Ross,Inc., Stroudburg,Pennsylvania,1973.
- [2] R.E.Blahut, *Fast Algorithms for Digital Signal Processing*, Addison-Wesley Publishing Company, Inc.,1985.
- [3] S.Y.Kung, *VLSI ARRAY PROCESSORS*, Prentice-hall,Inc.,1988.
- [4] K.Bromley, Sun-Yuan Kang and E.Swartzlander, *International Confernece on SYSTOLIC Array*, Computers Society, Press, N.Y.,1985.
- [5] M.D.Ercegovac and T.Lang, *Digital Systems and Hardware/Firmware Algorithms*, John Wiley & Sons, Inc., Canadea, 1985.
- [6] Alfred K.W. Yeung and Jan. M. Rabaey,"A Recobfigurable Data-Driven Mutiprocessor Architecture for Rapid Prototyping of High Throughtput DSP Algorithms," HICSS-26 vol.1, IEEE Coputer Society Press, 1993.
- [7] F. Balarin et al., *Hardware-Software Co-design of Embedded Systems: The Polis Approach*, Kluwer Academic Press, Boston, June 1997.
- [8] R.K.Gupta, *Co-Synthesis of Hardware and Software for Digital Embedded Systems*, vol. 329, Kluwer Academic Publishers, Boston, Aug. 1995.
- [9] R.Lidi and G.Pilz, *Applied Abstract Algebra*, Spring-Verlg,Inc.,N.Y.,1984.
- [10] E.Artin,*Galois Theory*,NAPCO Graphic arts, Inc.,Wisconsin.1971.
- [11] C.Y. Lee, E.H. Lu and J.Y. Lee,"Bit-parallel systolic multipliers for  $GF(2^m)$  fields defined by all-one and equally space polynomials,"vol. 50, no.5, pp.385-393, IEEE Trans. Compt., May 2001.